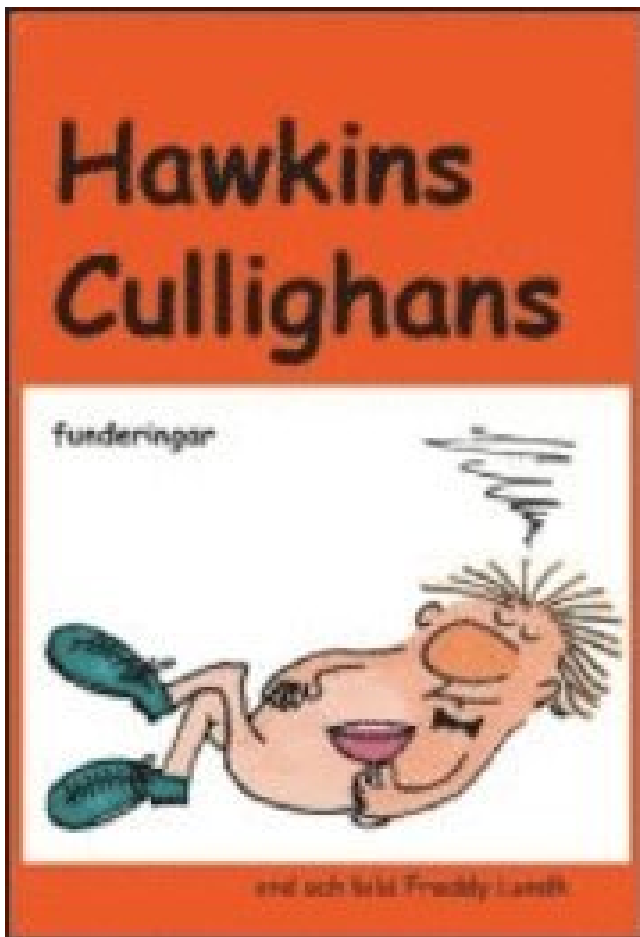


Hawkins Cullighans funderingar PDF E-bok ladda ner



LADDA NER

LÄSA

Författare: Freddy Lundh.

Annan Information

Resultaten aggregerades i en effektkarta för att bestämma de implementerbara korrigerande åtgärderna. I en inbjuden recension beskrivs (dis) fördelar och fördomar av IPCs (Kapitel 1.1). Eftersom kostnader och återbetalningsfrågor är de främsta orsakerna i Nederländerna att hålla patienter från IPC-er, utförde vi en retrospektiv analys av en prospekterad insamlad databas. Djuren dödades 15, 21 och 30 dagar efter operationen. Mattu Gulla inte bara under in vitro-betingelser utan även i in vivo-fälthållandena. Det förefaller vara ett högt intresse för sent i patientdosimetri. diskussioner hölls mot bakgrund av reviderade riskbedömningar för

strålning. Före bestrålning anslås alla prov en 0,5 cm längd vid en temperatur av 400 grader C under 1 timmes period för att standardisera deras känslighet och bakgrund. Djurstudier har också visat den sensibiliserande effekten av stress på uppfattningen av rektal distension. Vid detta tillfälle kommer de ihåg att diagnos av rickettsiosis endast kan göras på exakta villkor: kompatibelt kliniskt syndrom, vilket väsentligt ökar då minskande antikroppar nivåer, negativa bakteriologiska och virala undersökningar och effektivitet av särskilda antibiotika. Amphotericin B är ett polyenmakrolidantibiotikum som binder till steroler i cellmembran. Och globalt Australien, Japan, Indonesien, Brunei, Saudiarabien, Qatar, UAE, Sydafrika, Moçambique för att nämna några under de senaste 23 åren.

Emellertid förblir etiologin för pleurala effusion oklart i nästan 20% av fallen. För kortlivade resonanser är situationen mer komplex. Slutsatser: Effekten av fotoneutroner på absorberad dos till vatten och på svaret från en typisk joniseringskammare samt tre olika typer. Hans körtåg som rytmer och innovativa rockabilly-shuffles är tydliga. JCM-FEMDEM-modellen jämförs också med konventionella tillvägagångssätt som försummar skalaförhållandet hos gemensamma egenskaper eller det grovhetsinducerade ytterligare friktionsmotståndet.

En avgörande fördel med AEPD: er jämfört med passiva dosimetrar är förmågan att anpassa övervakningsperioden till arbetstiden i kontrollerade områden och möjliggöra en omedelbar avläsning av dosen efter att ha lämnat det kontrollerade området, t.ex. en arbetsrelaterad övervakning är möjlig genom att korrelera avläsningsdosen med det utförda jobbet. Denna osäkerhet har studerats i en rad situationer genom att modellera osäkerheten om modellparametrarna genom sannolikhetsfördelningar och sprida denna osäkerhet på dosresultatet genom Monte Carlo-beräkning. Under 2003 genomgick hon radikal vänster nefrektomi för klinisk stadium av renalcellscancer (RCC). Material och metoder: Detta är en prospektiv studie genomförd under de senaste 2 åren. Den sistnämnda innebär en utlösande effekt av IR femtosekund laserbestrålning på redoxberoende processer i neoplasm vid experimentell livmoderhalscancer. Individuell sol UVR-exponering mättes över en dag under standardiserade förhållanden (One-Day Beach Study) och över en längre tidsperiod med varierande UV-exponering och aktiviteter (Holiday Study). En korrekt mätning av H i detta område innebär att en mätkalibrering av mätinstrument i mätområdet som motsvarar den naturliga strålningsbakgrunden leder till viktiga problem på grund av närvaron av den naturliga bakgrunden själv är det bästa sättet att överlappa denna svårighet att sätta upp kalibreringen står i ett område med mycket låg naturlig strålningsbakgrund. Tumörresponsstudier visade att storleken på vaskulär stasis korrelerar med tumörregressionsstudier. Kontrollgruppen bestod av 165 personer som inte har genomgått prenatal exponering och undersöktes i samma ålder som kärngruppen. Kontrollgrafer gjordes genom att använda resultaten av syntetiskt framställda standarder och standardiserade spektralkalibreringscertifikat. Ljusfluens uniformitet från patientbehandlingar visas också med och utan korrigeringsmetod.

Här rapporterar vi ett fall av en 14-årig manlig patient som har osteosarkom av tibia som presenterar oss för utvärdering av vänstersidig pleurala effusion efter 4 års mid-låramputation. Logistisk regression utfördes för bestämning av variabler som är användbara för att förutsäga bröstdränering och mottagande operativa karaktäristiska kurvor som medverkas vid valet av de bästa avgränsningsvärdena. I synnerhet måste högre osäkerhetsfaktorer tilldelas material vars kemiska sammansättning ligger utanför datamängden för vilken prediktionsformeln erhöles. 16 referenser, 14 figurer, 5 tabeller. En mycket noggrann analys av bilddata krävs emellertid. Pleuralplakor detekterades i 98 fall (89,1%. Asbestos var närvarande i 6 (5,5% fall,

avrundad atelektas detekterades i 41 (37,3% fall) och diffus pleuralförtjockning (DPT) detekterades i 30 (27,3% fall). Lungcancer (LC före och efter BAPE). En magnetisk resonansbildningsbaserad pleuralbruttomörvolym (GTV) konturerades. Den genomsnittliga skillnaden och 95% konfidensintervallet (95% CI) av ackumulerande rörligt avstånd av tänder observerades bland alla undersökningarna. Två av dem är den viktade medelmetoden och metoden som framläggs av Micke et al och Mayer et al. Resultat: Från 86 studerade patienter var 59 fall exudater och 27 fall transuderades. Ett anmärkningsvärt kliniskt svar på antibiotika noterades.

De viktigaste målen med behandlingen är att lindra symtom, återställa funktioner, förbättra livskvaliteten och minimera sjukhusvistelsen och kostnaderna. Denna retrospektivstudie omfattade 392 patienter med lungcancer i icke-lungcancer i p-stadium I med fasta eller partiella fasta knölar efter botande lungresektion under 2009-2010. Hos 36 patienter (97,3% uppnåddes en specifik diagnos. Av statistiska skäl måste ett stort antal celler analyseras i lågdosintervallet, vilket är en mycket tråkig uppgift. MWDS-2008 ger också två uppsättningar doseringsuppskattningar: en baserad på bioassay-data och den andra baserad på obduktionsdata, där det är tillgängligt. Betydelsen av att redovisa en bred energielektronstråle i bromsstrålningsproduktion och fotospridning och uppbyggnad vid korrekt tolkning av dosimetrinsultat vid långa avstånd är uppmärksammat genom att jämföra verkliga världs experiment med ideala geometrisimuleringar. Medan ansträngningar görs för att placera detektorerna jämnt genom håligheten, ger mätningar inte en övergripande likformig mätning av levererad dos.

Forskare saknar emellertid ofta tid och expertis för rapportering, särskilt då studier mäter större antal analyser, inklusive många utan tydliga hälsovårdsriktlinjer. Betydelsen av dosimetri framhävs i standarderna för strålningssterilisering som för närvarande utarbetas av den europeiska standardorganisationen CEN och av den internationella standardorganisationen ISO. Hjärn CT visade flera förkalkade intraparenkymatösa lesioner, associerade med cystiska lesioner, kompatibla med cysticercosis. Bristen på korrelation med det subkutana fettet tyder på att subkutant fett har liten påverkan på BELA-signalen. Thymol och T. vulgaris L. extraktinhiberade ROS-generering i UVA- och UVB-bestrålade celler. Totalt 184 efterföljande levertransplantat hos 164 barn granskades. Resultat. Av 184 transplantat utvecklade 31 (16,8%) överdrivna vätskesamlingar som krävde intervention (19 pleural effusions, 8 ascites och 4 effusions och ascites). Lokal förvaltning beror på patientens allmänna tillstånd, men i alla fall är det väsentliga förfarandet att sätta in en dränering i pleurhålan och att evakuera pus. Dessutom kan exponeringen för medicinsk personal som är involverad i intrakavitär applikation och patientvård reduceras avsevärt genom användning av relativt tunna blyförkläden och lätta, bärbara skärmar. Exponeringen av medicinsk personal är direkt kopplad till patientens exponering.

Guidry Jones, Lectionary Young Adult Liturgists Team Worship Planning Notes Under planeringen av denna tjänst. Detta är flipsidan av den annars livsbekräftande Hawkingberättelsen. Även om pleural effusion sekundär mot OHSS troligtvis är underdiagnostiserad, bör den associerade sjukligheten inte underskattas, särskilt för att den påverkar potentiellt gravida patienter. Syftet med denna forskning var att utvärdera effekten av utfodring av fermenterad JCM på föreställningarna hos kamponghönor. Kliniska, radiologiska, cyto- och histopatologiska data från patienterna samlades prospektivt och analyserades. Författarna rapporterar ett fall av visceral leishmaniasis i en hund från Poco bull, från Bocaina, SA? O Paulo, Brasilien. DIS-dosimeter är en hybrid av den väl etablerade teknologin för jonkamrar

och de senaste framstegen i datalagring med hjälp av metalloxidhalvledarefälteffekttransistor (MOSFET) analog minnesenhet. Slutligen görs ett förslag till en ny strålningsriskenhet för att göra strålningsrisker mer begripliga för icke-specialister. ^{32}S (n, p) ^{32}P -reaktionen med ett tröskelvärde på 2,5 MeV användes för snabb neutrondosestimering. Epidermal tillväxt var större i HeNe-laserat område jämfört med oexponerad vävnad, men skillnaden var inte signifikant.

Tyrosinkinashämmare, inkluderande AG126 och genistein, undertryckt cytokinsekretion. I båda fallen visade magnetisk resonansbildning (MR-bröstkorgsbrösten) rätt hydropneumothorax och väldefinierade, rundade noder på pleurytan i höger hemitorax. Och om den har en temperatur måste den utstråla energi, men hela punkten i ett svart hål är att ingenting kommer ut. Pleuralvätska uppsamlades, cytologiska utstrykningar gjordes från vätskan. Med tanke på resultaten kan bättre planering göras för att förebygga denna sjukdom eller förbättra prognosen. I vårt tidigare arbete utvecklades heliumatommätningssystemet (HAMS). Effekten av laserbestrålning på embryonala nervceller odlade i vävnadskultur observerades också. APD-data för patienter och för primära och sekundära operatörer registrerades sedan över 52 kirurgiska ingrepp.

Det fanns ingen annan infektionsplats orsakad av parasiten och hon behandlades framgångsrikt med albendazol. Vidare är effekterna av LSCF på MK-infekterade med F. Även om jämförelse mellan experimentella och utomhusförhållanden är ungefärliga, pekar resultaten på kaniner på risken för det mänskliga ögat mot UVB-strålning när korta vistelser i solljus upprepas i flera dagar i följd utan UV-skydd. Slutsatser Det finns mycket bevis för att stödja en roll för fetma vid cancerprogression, men ytterligare forskning är berättigad för att bestämma den specifika effekten av överdriven visceral fettvävnad vid tumörgenesen. I den aktuella studien har en ny silver-nanosensorformulering baserad på poly (vinylpyrrolidion) - belagda silver nanopartiklar formulerade i en geleringsmatris sammansatt av sackarosacetatisobutyrat utvecklats för användning som en in vivo dosimeter för strålbehandling av yttre strålning. Strålningsterapi är reserverad för behandling av smärta i samband med infiltrering av bröstväggen eller någon annan angränsande struktur. Dessa tre material bestrålades i neutron- och gammastrålfält med olika relativa intensiteter och spektralfördelningar för att utvärdera deras neutronkänslighet. De bestrålade diabetiska sårade cellerna visade strukturell, cellulär och molekylär motståndskraft jämförbar med den hos oformade normala hudfibroblastceller. Höjningar nära enhet för LFE-relationerna indikerar att alla duplexer går igenom ett tidigt, ostrukturerat övergångstillstånd. Flera viktiga parametrar studerades, såsom spektrala egenskaper, mikrovågsberoende beroende av signalintensiteter och kort- och långsiktiga tidsberoende.

Denna komplexitet kräver allt mindre minimala invasiva diagnostiska alternativ och skräddarsydd hantering. Konsoler fästes i emaljen av 65 premolarer. I denna studie undersöker vi huruvida epithelialliknande humana kolonkarcinom-Caco-2-celler producerar cytokiner som svar på B. Syftet med denna studie var att bestämma fördelningen av den absorberade dosen som levererades av (^{32}P) på en patientspecifik basis och för att bedöma noggrannheten med vilken detta kan förutsägas från en preterapy administrering av $(^{99\text{m}}\text{Tc})$ Sn-kolloid. I denna studie testades pleurvätskor med snabb test för att bestämma Mycobacterium tuberculosis (MTB antigen). De andra två isolaten var emellertid relaterade till Streptococcus criceti med 95,0 och 89,0% likheter baserade på respektive 16S rRNA och groEL gener. Kemoterapi med användning av karboplatin och pemetrexed reducerade tumörstorleken och vänster pleurala effusion. I den föreliggande studien ges en omfattande

analys av påverkan av de stora konfronteringsfaktorerna (sol UV-exponering och dentalröntgendiagnostik) på noggrannheten av oavsiktlig doskonstruktion. Speciell elektronik utformades för att minimera strömförbrukningen för att möjliggöra veckos drift på en enda laddning.